

## مقاله پژوهشی

مجله دانشگاه علوم پزشکی رفسنجان

دوره ۱۸، اسفند ۱۳۹۸، ۱۲۵۲-۱۲۳۳

# اثرات ضد بیوفیلمی نانوذرات نقره سنتز شده توسط عصاره گیاه سریشک (*Asphodelus dendroides*) بر روی ایزوله‌های بالینی مقاوم به آنتی‌بیوتیک و مولد بیوفیلیم کلبسیلا پنومونیه: یک مطالعه آزمایشگاهی

مهتاب صباحی<sup>۱</sup>، سید محمد مهدی حمدی<sup>۲</sup>، امیر میرزایی<sup>۳</sup>

دریافت مقاله: ۹۸/۴/۹ ارسال مقاله به نویسنده جهت اصلاح: ۹۸/۸/۵ دریافت اصلاحیه از نویسنده: ۹۸/۸/۱۸ پذیرش مقاله: ۹۸/۹/۹

### چکیده

**زمینه و هدف:** سنتز نانوذرات نقره توسط عصاره گیاهان یکی از روش‌های مقرون به صرفه می‌باشد و یکی از کاربردهای نانوذرات نقره، اثرات ضد میکروبی و ضد بیوفیلمی آن می‌باشد و هدف از این مطالعه تعیین اثرات ضدبیوفیلمی نانوذرات نقره سنتز شده توسط عصاره گیاه سریشک بر روی ایزوله‌های بالینی کلبسیلا پنومونیه مقاوم به آنتی‌بیوتیک و مولد بیوفیلیم است. **مواد و روش‌ها:** در این مطالعه آزمایشگاهی، ابتدا نانوذرات نقره توسط عصاره گیاه سریشک سنتز گردید و خصوصیات ساختاری آن توسط روش‌های فیزیکی و شیمیایی مختلف تأیید شد. به دنبال آن اثرات ضد میکروبی و ضد بیوفیلمی نانوذرات نقره سنتز شده بر روی ایزوله‌های بالینی کلبسیلا پنومونیه مولد بیوفیلیم به ترتیب توسط روش‌های کم‌ترین غلظت بهینه و Real Time PCR بررسی گردید.

**یافته‌ها:** نتایج تست UV-vis نشان داد که نانوذرات نقره سنتز شده دارای بیشینه جذب در طول موج ۴۲۰ نانومتر بود. نتایج SEM (scanning electron microscope)، TEM (transmission electron microscopy) و XRD (X-ray powder diffraction) نشان داد که نانوذرات نقره سنتز شده دارای ساختار کروی و دارای اندازه میانگین و انحراف معیار  $30/41 \pm 22$  نانومتر بودند. همچنین نانوذرات نقره دارای اثرات ضد میکروبی و ضد بیوفیلمی معنی‌داری علیه سویه‌های کلبسیلا پنومونیه داشتند، به طوری که نانوذرات نقره باعث کاهش بیان معنی‌دار ژن کدکننده بیوفیلیم (*mrkA*) در سویه‌های کلبسیلا پنومونیه شده بود ( $P < 0/001$ ).

**نتیجه‌گیری:** نتایج این مطالعه اثرات ضد میکروبی و ضد بیوفیلمی نانوذرات نقره علیه سویه‌های کلبسیلا پنومونیه را نشان داد. با توجه به نتایج این مطالعه، با انجام مطالعات تکمیلی احتمالاً بتوان از این ترکیب در آینده برای مهار بیوفیلیم استفاده نمود.

**واژه‌های کلیدی:** نانوذرات نقره، کلبسیلا پنومونیه، اثرات ضد میکروبی، اثرات ضد بیوفیلمی، ژن *mrkA*

۱- کارشناس ارشد، گروه زیست شناسی، واحد تهران مرکزی، دانشگاه آزاد اسلامی، تهران، ایران

۲- نویسنده مسئول) دانشیار، گروه زیست شناسی، واحد تهران مرکزی، دانشگاه آزاد اسلامی، تهران، ایران  
تلفن: ۰۲۱-۸۸۰۷۴۹۰۷، دورنگار: ۰۲۱-۸۸۰۷۴۹۰۷، پست الکترونیکی: m.hamdi@iauctb.ac.ir

۳- استادیار، گروه زیست شناسی، واحد رودهن، دانشگاه آزاد اسلامی، رودهن، ایران

## مقدمه

امروزه گسترش استفاده از آنتی‌بیوتیک‌ها باعث ایجاد مقاومت‌های دارویی و به‌وجود آمدن باکتری‌های مقاوم به چند دارو (Multi Drug Resistant) شده است [۱-۲]. به‌طوری‌که ۷۰ درصد از باکتری‌هایی که باعث ایجاد عفونت در بیمارستان‌ها می‌شوند، حداقل به یکی از داروهای رایج درمانی مقاوم شده‌اند [۳-۴]. باکتری‌های تولید کننده آنزیم‌های بتالاکتاماز وسیع‌الطیف یکی از معضلات جدید در درمان باکتری‌ها شده‌اند، به‌طوری‌که این باکتری‌ها توانایی از بین بردن سفالوسپورین‌های نسل سوم را دارند [۵].

یکی از مهم‌ترین باکتری‌های تولیدکننده آنزیم بتالاکتاماز وسیع‌الطیف، باکتری‌های خانواده انتروباکتریاسه به‌خصوص *کلبسیلا پنومونیه* می‌باشد [۶]. یکی دیگر از دلایل مقاومت های دارویی باکتری‌ها به‌خصوص *کلبسیلا پنومونیه*، تولید بیوفیلیم می‌باشد. بیوفیلیم‌ها جمعیتی از باکتری‌های درحال رشد هستند که تولید ماتریکس آگروپلیمیری می‌کنند و به سطوح متصل می‌شوند [۷]. از طرف دیگر، ماتریکس یک بیوفیلیم موجب نفوذ آرام و ناکافی ترکیبات ضد میکروبی شده و گردان غلظتی موجود در نقاط مختلف آن قادر به خنثی سازی برخی از ترکیبات راه یافته به درون بیوفیلیم می‌شود [۸].

یکی از ژن‌های مؤثر در تشکیل بیوفیلیم در سویه‌های بالینی *کلبسیلا پنومونیه*، ژن *mrkA* (Type 3 Fimbrial Shaft) می‌باشد و مطالعات نشان داده است که این ژن اتصال سویه‌های *کلبسیلا پنومونیه* را به سطوح مختلف

تسهیل نموده و سبب تشکیل بیوفیلیم می‌گردد [۹]. توانایی تولید بیوفیلیم در باکتری *کلبسیلا پنومونیه* توانایی زنده ماندن آن را در محیط‌های خشن در میزبان را می‌دهد و مسئول ایجاد عفونت‌های مزمن و پایدار می‌باشد [۱۰].

یکی از راه‌کارهای مقابله با تولید بیوفیلیم و مقاومت آنتی‌بیوتیکی، استفاده از علم نانوتکنولوژی می‌باشد [۱۱]. یکی از نانوذرات مورد استفاده جهت از بین بردن بیوفیلیم باکتریایی، نانوذرات نقره می‌باشد [۱۲-۱۳]. تاکنون مطالعات کمی در زمینه بررسی اثرات ضد بیوفیلیمی نانوذرات نقره به انجام رسیده است. Gutierrez و همکارانش اثرات ضد بیوفیلیمی نانوذرات نقره را بروی باکتری‌های مختلف پاتوژن مورد مطالعه قرار دادند. نتایج این مطالعه نشان داد که نانوذرات نقره در غلظت ۱۰۰ میکروگرم در میلی‌لیتر باعث جلوگیری از تولید بیوفیلیم در سویه‌های *سودوموناس آئروژینوزا* می‌شود [۱۴].

امروزه به منظور سنتز نانوذرات نقره روش‌های فیزیکی و شیمیایی از جمله احیاء شیمیایی، لیتوگرافی، الکتروشیمیایی، لیزر و امواج میکروویو متفاوتی وجود دارد. از معایب روش‌های شیمیایی که نقش عوامل احیایی و تثبیت کننده را ایفاء می‌کنند، این است که در طبیعت به صورت تجزیه نشده باقی می‌مانند و در نهایت موجب آلودگی شیمیایی محیط زیست می‌شوند [۱۵]. اخیراً سنتز زیستی نانوذرات نقره توسط عوامل طبیعی و زیستی مانند گیاهان مورد توجه محققان قرار گرفته است [۱۶]. تاکنون از گیاهان مختلفی مانند *Albizia Plumbago zeylanica*

خمینی شامل ادرار، زخم، مایع مغزی-نخاعی، خون و خلط جمع‌آوری شدند. نمونه‌ها پس از انتقال به آزمایشگاه تحقیقاتی میکروشناسی روی محیط‌های کشت ائوزین متیلن بلو آگار (EMB) و مک کانکی (مرک، آلمان) آگار کشت داده شدند و در ۳۷ درجه سانتی‌گراد به مدت ۲۴ ساعت نگهداری شدند. بعد از تهیه لام و مشاهده باسیل‌های گرم منفی، تست‌های بیوشیمیایی معمول نظیر کشت در محیط‌های کشت (SIM) (Sulfide, Indole, Motility)، Voges-Proskauer و (TSI) Triple Sugar Iron Agar (MRVP) Methyl Red، اوره و سترات و تست اکسیداز (مرک، آلمان) برای تأیید کلبسیلا پنومونیه انجام شد. سپس باکتری‌ها در محیط ترپتیک سوی برات (TSB) و گلیسرول در ۷۰- درجه سانتی‌گراد برای انجام تست‌های بعدی مطالعه و ذخیره شدند [۱۹]. تست حساسیت ضد میکروبی با روش کربی بائر انتشار (دیسک دیفیوژن) روی محیط کشت مولر هینتون آگار، نسبت به دیسک‌های آنتی‌بیوتیکی (MAST، UK سفتری اکسون (CRO, 30 µg)، سفنازیدیم (CAZ, 30 µg)، سفوکسیتین (FOX, 30 µg)، سفوتاکسیم (CTX, 30 µg)، نالیدیکسیک اسید (NA, 30 µg)، سیپروفلوکساسین (CP, 5 µg)، ایمی‌پینم (IPM, 10 µg) انجام شد و نتایج طبق راهنمای CLSI (۲۰۱۸) بررسی شد [۲۰].

جهت تعیین سویه‌های کلبسیلا پنومونیه مولد بیوفیلم، سویه‌ها بر روی محیط کشت گنگورد آگار دارای ۴۰ گرم سوکروز کشت داده شدند و به مدت ۲۴ ساعت در دمای ۳۷ درجه سانتی‌گراد انکوبه گذاری شدند (Memert, Germany)

*Acacia leucophloea*, *Chrysanthemum adianthifolia indicum* L., *Achillea biebersteinii*, *Lantana camara*. جهت سنتز نانوذرات نقره استفاده کرده‌اند [۱۷].

در این مطالعه از عصاره گیاه سریشک (*Asphodelus dendroides*) جهت سنتز سبز نانوذرات نقره استفاده شد. سریشک نام یک سرده از زیرخانواده علف درختان آسفودلویدا است. سریشک گیاهی است که غالباً در جنوب و کشورهای شمال آفریقا و پاکستان و هندوستان مشاهده می‌شود و فصل گلدهی آن از اواسط اردیبهشت ماه تا اواسط خرداد است. عصاره این گیاه، در درمان ناراحتی‌های کبد و معده مؤثر است و به عنوان ضد عفونی کننده در طب سنتی استفاده می‌شود [۱۸]. با توجه به این که مطالعات نشان می‌دهد که عصاره این گیاه دارای ترکیبات ثانویه فلاونوئیدها و ترپنوئیدها می‌باشد و این ترکیبات نقش به‌سزایی در سنتز نانوذرات نقره دارند و بنا به اثرات درمانی عصاره این گیاه و کاربردهای وسیع نانوذرات نقره، هدف از این مطالعه برای اولین بار سنتز بیولوژیک نانوذرات نقره با استفاده از عصاره گیاه سریشک و اثرات ضد بیوفیلمی آن بروی ایزوله‌های بالینی کلبسیلا پنومونیه می‌باشد.

#### مواد و روش‌ها

در این مطالعه آزمایشگاهی که از اردیبهشت ماه ۹۷ تا شهریور ماه ۹۷ در دانشگاه آزاد اسلامی واحد تهران مرکز به انجام رسیده است و دارای کد اخلاق IR.IAU.Tehran.REC.1397.019 می‌باشد، تعداد ۵۰ نمونه مشکوک به کلبسیلا پنومونیه از بیماران مراجعه کننده بیمارستان امام

و سپس به مدت ۲۴ ساعت در دمای اتاق قرار گرفتند. کلنی های سیاه رنگ به عنوان سویه های مولد بیوفیلیم و کلنی های قرمز روشن به عنوان سویه های فاقد قدرت بیوفیلیم شناسایی شدند [۲۱].

گیاه سریشک از بانک گیاهی مرکز ذخایر زیستی با شماره هرباریومی ۱۳۹۵ خریداری شد. اندام هوایی گیاه ابتدا در جریان هوا قرار داده و سپس در سایه کاملاً خشک شدند و توسط دستگاه آسیاب برقی (IKA M20 Universal, China) کاملاً پودر گردیده و درون ظرف های شیشه ای نگهداری شدند. از پودر تهیه شده برای عصاره گیری اتانولی با استفاده از روش ماسراسیون استفاده شد. عصاره به دست آمده توسط کاغذ صافی (واتمن، آلمان) فیلتر شد و جهت سنتز نانوذرات نقره، از روش رسوب گذاری با احیای یون های نقره توسط عصاره گیاه سریشک انجام گرفت. به این صورت که نانوذرات نقره با افزودن ۲ میلی لیتر عصاره با غلظت ۱/۰۰۱ mm از نیترات نقره (مرک، آلمان) تحت شرایط دمایی ۶۰ درجه سانتی گراد و همزدن سنتز شدند. احیای کامل یون های نقره به نانوذرات نقره با تغییر رنگ محیط مشخص می شود. پس از سپری شدن یک ساعت از زمان واکنش و تغییر رنگ محلول، سه مرتبه شستشوی رسوب با آب مقطر انجام می گیرد. تمامی مراحل شستشو با دور ۱۳۰۰۰ rpm به مدت ۲۰ دقیقه سانتریفیوژ (Hettich, Germany) می گردد. در نهایت رسوب نهایی بعد از خشک شدن در شیشه ساعت جمع آوری می شود [۲۲].

بعد از گذشت ۶۰ دقیقه از زمان واکنش رسوب گذاری، تغییر رنگ واکنش و سنتز نانوذرات نقره، آنالیز طیف سنجی مرئی فرابنفش نانوذرات نقره سنتز شده با استفاده از دستگاه طیف سنجی UV-vis (JASCO V-670 Spectrophotometer, USA) بین ۲۰۰ تا ۷۰۰ نانومتر مورد ارزیابی قرار گرفت [۱۷]. به منظور تعیین ساختار کریستالوگرافی نانوذرات نقره از آزمون اشعه ایکس توسط دستگاه XRD با تشعشع لامپ CuKα (Olympus، ژاپن) در دامنه ۰ تا ۱۱۰ درجه استفاده شد. به منظور بررسی ریخت شناسی و تأیید اندازه نانوذرات نقره، یک قطره از نمونه سوسپانسیونی ذرات نقره بر روی گرید فیلم کربنی قرار داده شد و پس از خشک شدن آن در دمای آزمایشگاه با استفاده از دستگاه میکروسکوپ الکترونی گذاره (TEM) (Leo 906) مدل (Zeiss ۱۰۰ KV)، ساخت کشور آلمان با ولتاژ شتاب دهنده ۱۲۰ Kv تصویر برداری شد.

مورفولوژی نانوذرات نقره با استفاده از میکروسکوپ الکترونی روبشی (SEM) (شرکت KYKY، کشور ژاپن) بررسی شد. تصاویر میکروسکوپ الکترونی روبشی و مطالعه نقطه به نقطه، جهت بررسی اندازه و مورفولوژی نانوذرات پس از پوشش دهی با طلا در ولتاژ زیر ۳۰ KV و تحت فشار خلاء ( $10^{-5}$  Torr) با استفاده از میکروسکوپ الکترونی - مدل XL30 شرکت فیلیپس ساخت کشور ژاپن مورد مطالعه قرار گرفت. نانوذرات در مقداری آب حل شده و سوسپانسیون حاصل روی گرید طلا مورد تصویربرداری SEM قرار گرفت. دستگاه لایه نشانی طلا Sputter coater،

ساخت شرکت KYKY، کشور ژاپن و مدل دستگاه SBC12 بود [۲۳].

به منظور بررسی خواص ضد باکتریایی نانوذرات نقره از روش کمترین غلظت مهارکنندگی (MIC) استفاده شد. آزمایش MIC به صورت سه بار تکرار بر اساس استاندارد CLSI به روش میکرودايلوشن در میکروپلیت ۹۶ خانه‌ای انجام گرفت. حداقل غلظت مهاري (MIC) به کمترین غلظت از نانوذره نقره که رشد میکروارگانيسم را مهار می‌نماید، اطلاق می‌شود. به این منظور ابتدا، نانوذرات نقره در غلظت‌های (۱۰۰، ۵۰، ۲۵، ۱۲/۵، ۶/۲۵، ۳/۱۲۵ میکرو گرم بر میلی‌لیتر) تهیه شد. طرز تهیه غلظت‌های مختلف نانوذرات نقره، استفاده از روش رقیق‌سازی متوالی بود یعنی ابتدا غلظت ۱۰۰ میکروگرم در میلی‌لیتر از نانوذرات نقره ساخته شد و به صورت متوالی رقیق‌سازی شد (به نسبت ۱/۲) [۲۳]. به دنبال آن پلیت‌های ۹۶ چاهکی به کمک توزیع ۹۵ میکرولیتر از محیط مولر هینتون براث و ۵ میکرولیتر از تلقیح میکروبی (نمونه‌های جداسازی شده کلبسیلا پنومونیه) به داخل هر یک از چاهک‌ها فراهم گردید. ۱۰۰ میکرولیتر از نانوذرات در غلظت‌های مختلف در چاهک‌ها ریخته شد. چاهک آخر شامل ۹۵ میکرولیتر محیط مولر هینتون براث و ۵ میکرولیتر از تلقیح میکروبی در هر ردیف به منزله کنترل مورد استفاده قرار گرفت. پلیت با درپوش پلیت‌استریل پوشانده شد و محتویات هر چاهک روی شیکر (Cleaver Scientific، UK) به مدت ۶۰ ثانیه با دور ۱۰۰ rpm مخلوط گردید و سپس در دمای ۳۷ درجه به مدت ۲۴ ساعت

انکوبه شد و بعد از مدت زمان ۲۴ ساعت رشد یا عدم رشد میکروبی بررسی شد [۲۳].

به منظور تعیین اثرات ضدبیوفیلمی نانوذرات نقره از روش Real Time PCR استفاده شد [۲۴] به طوری که ابتدا سویه های کلبسیلا پنومونیه با غلظت زیرحد MIC (SubMIC) نانوذرات نقره تیمار شدند و به دنبال آن از سویه‌های تحت تیمار با نانوذره، استخراج RNA با استفاده از کیت استخراج RNA (کیژن، آمریکا) بر طبق دستورالعمل انجام گرفت. در ادامه، سنتز cDNA با استفاده از کیت Quanti Tect Reverse Transcription kit (کیژن، آمریکا) انجام گرفت. به منظور ارزیابی بیان ژن بیوفیلیم *mrkA* از روش Real Time PCR کمی (qRT-PCR) با استفاده مستر میکس حاوی سایبرگرین (Applied Biosystem، انگلستان) انجام گرفت. مواد مورد استفاده در حجم ۲۰ میکرولیتر مستر میکس شامل ۲ میکرولیتر از cDNA، ۱۰ پیکومول از پرایمرهای رفت و برگشت، ۱۰ میکرولیتر از مستر میکس حاوی سایبر گرین بود که در دستگاه Bioneer کره انجام گرفت برنامه دمایی مورد استفاده در qPCR شامل ۹۰ درجه سانتی‌گراد به مدت ۱۰ دقیقه، ۹۵ درجه سانتی‌گراد ۱۵ ثانیه، ۱ دقیقه دمای ۶۰ درجه سانتی‌گراد بود که در ۴۰ سیکل انجام شد. هم چنین ژن *16S rRNA* به عنوان کنترل داخلی مورد استفاده قرار گرفت. در انتها بیان نسبی ژن *mrkA* توسط روش  $\Delta\Delta C_T$  محاسبه گردید. لازم به ذکر است پرایمرهای مورد استفاده برای ژن *mrkA* F 5'- TTCTTCTCTCTGCAGCAATG - و 3' *mrkA* R-5'- TACCGGAGACAGGTAACGT - و هم چنین 3' F5'- GAGCGCGGACGGGTGAGTA

در این مطالعه، از میان ۵۰ نمونه بالینی مشکوک به کلبسیلا پنومونیه، کلنی‌های لاکتوز مثبت و موکوئیدی جداسازی شد و با استفاده از تست‌های میکروسکوپی و بیوشیمیایی، تعداد ۲۰ سویه کلبسیلا پنومونیه جداسازی گردید. نتایج تست حساسیت میکروبی نشان داد که سویه‌های کلبسیلا پنومونیه جداسازی شده دارای پروفایل مقاومت آنتی‌بیوتیکی متنوعی هستند که در جدول ۱ نشان داده شده است، به طوری که اکثر سویه‌ها مقاوم به چند دارو (MDR) بودند.

## نتایج

جدول ۱- نتایج تست آنتی بیوگرام ۲۰ سویه کلبسیلا پنومونیه جداسازی شده از نمونه های بالینی

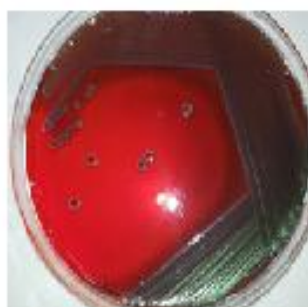
شماره سویه	نام آنتی بیوتیک						ایمی پنم
	سفتری اکسون	سفتازیدیم	سفوکسیتین	سفتوناکسیم	نالیدیکسیک اسید	سیپروفلوکساسین	
۲	R	R	R	R	R	R	S
۶	R	R	S	R	R	R	R
۷	R	R	R	R	S	R	R
۹	R	S	R	R	R	R	R
۱۱	S	R	R	R	R	R	S
۱۶	R	R	R	R	R	R	R
۱۹	R	R	I	S	R	R	R
۲۲	S	R	R	R	R	R	S
۲۳	R	R	R	R	S	R	S
۲۵	S	R	R	R	R	R	S
۲۶	R	R	R	R	R	I	S
۳۱	S	R	R	R	S	R	R
۳۳	R	R	R	I	R	S	S
۳۹	R	S	I	R	R	R	R
۴۰	R	R	R	R	R	R	I
۴۲	R	S	R	R	R	R	S
۴۴	R	R	R	R	R	R	S
۴۶	I	R	R	R	R	S	I
۴۹	R	R	R	R	I	R	S
۵۰	R	R	R	S	R	R	S

R: مقاوم، I: نیمه حساس، S: حساس

رنگ باقی می‌ماند. از میان ۲۰ سویه بالینی کلسیلا پنومونیه، تمامی سویه‌ها از نظر تست فنوتیپی بیوفیلیم مثبت بودند (شکل ۱).



A



B

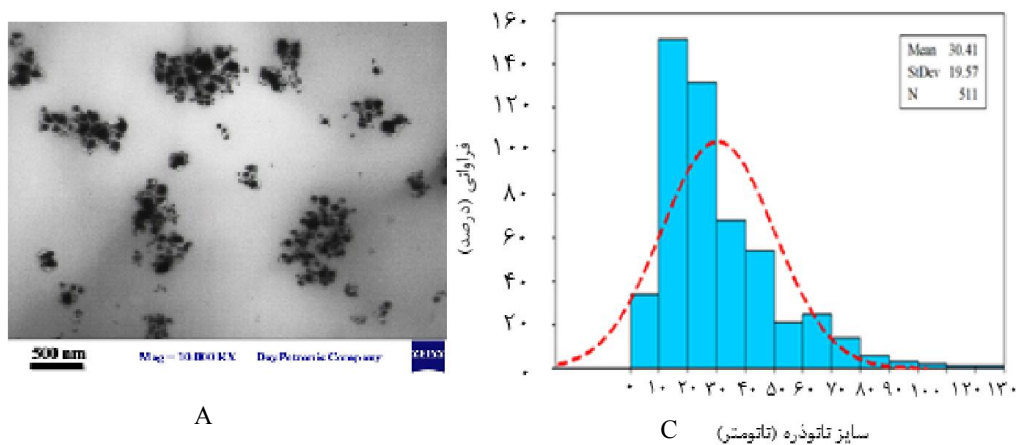
شکل ۱- نتایج تست فنوتیپی بیوفیلیم. A: کلنی‌های بی رنگ (بیوفیلیم منفی)، B: کلنی‌های مشکی رنگ (بیوفیلیم مثبت).

(شکل A۳-B۳ و C۳). همان‌طور که نتایج سنجش چگالی نوری نانوذرات نقره نشان می‌دهد حداکثر میزان جذب محلول‌های حاوی نانوذرات نقره در طول موج ۴۲۰ نانومتر است (شکل ۴). طیف سنجی XRD به منظور اثبات نانوکریستال‌های فلزی نقره، انجام شد. بر اساس نتایج به دست آمده که در طیف نشان داده شده است (شکل A۵)، نانوذرات کریستالی نقره در سطوح ۱۱۱، ۲۰۰، ۲۲۰ و ۳۱۱ به ترتیب پیک‌هایی با مقادیر ۳۸/۱، ۴۶/۲۲۵، ۶۴/۵۱ و ۷۶/۸۲ را نشان داد که با نمونه استاندارد نانوکریستال‌های نقره (شکل B۵) کاملاً همخوانی دارد. پیک‌های اضافی مربوط به ناخالصی‌هایی است که در بافت گیاه وجود داشته و دارای ساختار کریستالی است.

واکنش احیاء محلول نیترات نقره در دمای اتاق بعد از اضافه کردن عصاره خشک شده به محلول نیترات نقره صورت گرفت و تغییر رنگ حاصل گردید که این تغییر رنگ نشان دهنده ساخت نانوذرات نقره بود (شکل ۲). بعد از سانتریفیوژ به مدت ۲۰ دقیقه با دور ۹۰۰۰ rpm و به دست آوردن رسوب نانوذرات نقره و چندین مرحله شست و شو از پودر خشک شده نانوذرات نقره برای آنالیز TEM، SEM، UV-Vis، XRD استفاده شد. به منظور بررسی و آنالیز ریخت‌شناسی و اندازه نانوذرات نقره سنتز شده از میکروسکوپ الکترونی TEM و SEM استفاده شد. نتایج TEM و SEM نشان داد که نانوذرات نقره سنتز شده دارای ساختار کروی و دارای میانگین سایز ۳۰/۴۱ نانومتر بود

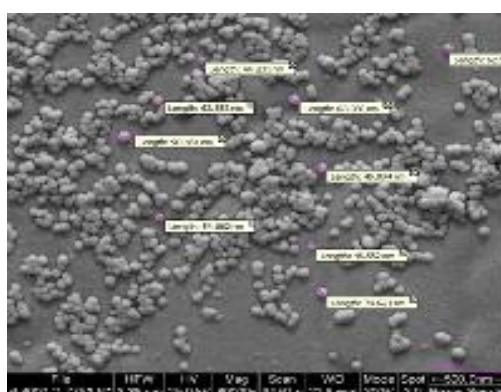


شکل ۲- سنتز نانوذرات نقره (سمت راست، محلول نیترات نقره و سمت چپ، پس از افزودن عصاره گیاهی)



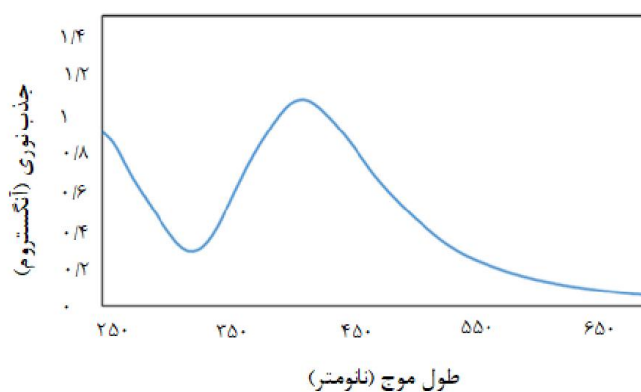
A

C سایز تانودره (نانومتر)

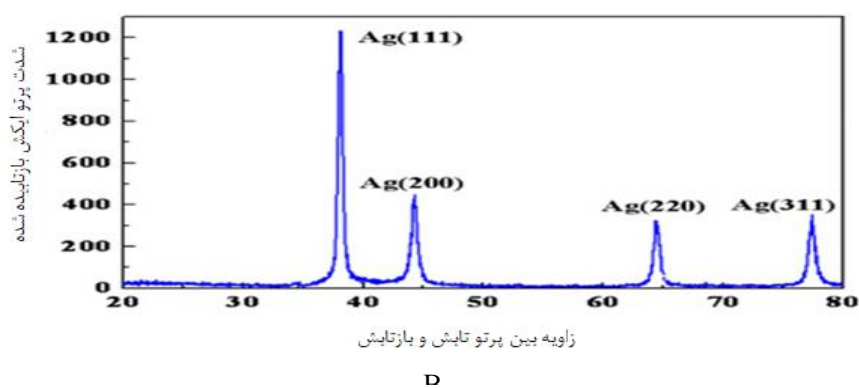
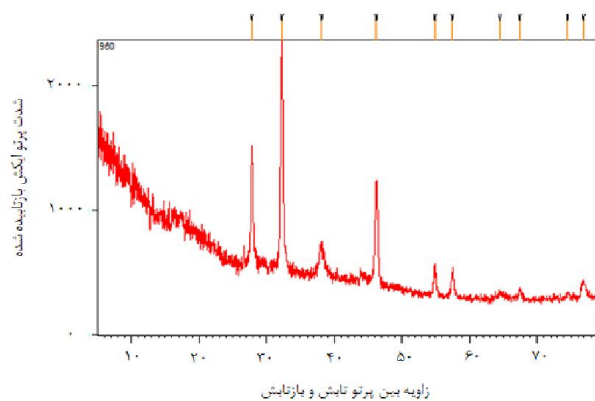


B

شکل ۳- نتایج میکروسکوپ الکترونی گذاره (A) (TEM)، تکاره (SEM) (B) و میانگین سایز نانوذرات (C). همان طور که مشاهده می شود نانوذرات سنتز شده دارای ساختاری کروی و دارای میانگین اندازه ۳۰/۴۱ نانومتر می باشد.



شکل ۴- طیف سنجی UV-Vis نانوذرات نقره سنتز شده. با توجه به شکل، جذب UV نانوذرات نقره سنتز شده در طول موج بین ۲۵۰ تا ۷۰۰ نانومتر خوانده شد و ماکزیم جذب در طول موج ۴۳۸ نانومتر بود.



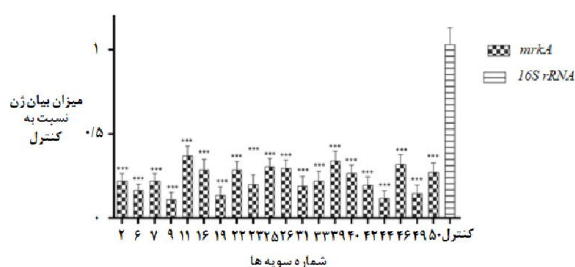
شکل ۵- (A): طیف XRD نانوقره سنتز شده، B: طیف XRD نمونه استاندارد نانوکریستال های نقره

نشان داد که نانوذره نقره روی تمامی باکتری‌های مورد مطالعه خاصیت ضد باکتریایی دارد و کم‌ترین و بیش‌ترین غلظت MIC برابر بود با ۶/۲۵ و ۱۰۰ میکروگرم در میلی‌لیتر (جدول ۲).

در این مطالعه، به منظور تعیین اثرات ضد باکتریایی نانوذرات نقره از روش MIC استفاده شد. در روش MIC سویه‌های باکتریایی کلبسیلا پنومونیه تحت غلظت‌های ۳/۱۲۵ تا ۱۰۰ میکروگرم در میلی‌لیتر قرار گرفتند. نتایج

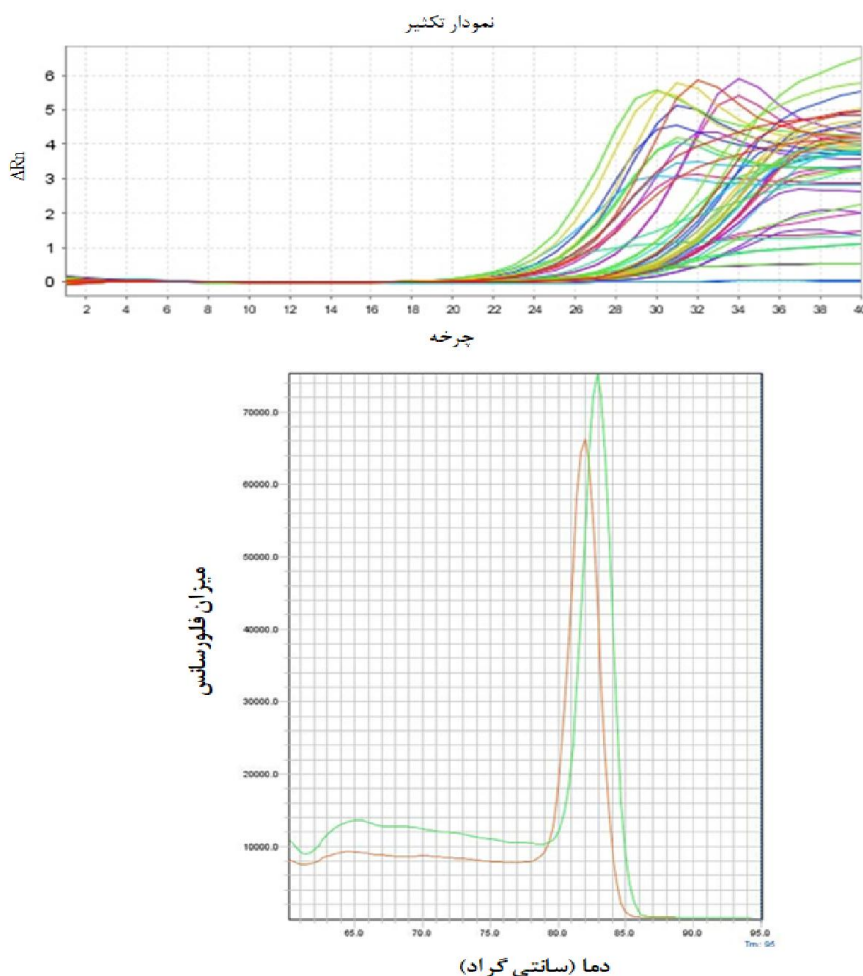
جدول ۲- نتایج MIC نانوذرات نقره علیه سویه‌های کلبسیلا پنومونیه

شماره سویه	۲	۶	۷	۹	۱۱	۱۶	۱۹	۲۲	۲۳	۲۵	۲۶	۳۱
<b>MIC</b>												
(میکروگرم در میلی لیتر)	۶/۲۵	۲۵	۲۵	۱۲/۵	۶/۲۵	۱۲/۵	۲۵	۵۰	۱۰۰	۵۰	۵۰	۲۵
شماره سویه	۴۹	۵۰	۳۳	۳۹	۴۰	۴۲	۴۴	۴۶	۴۹	۵۰	-	-
<b>MIC</b>												
(میکروگرم در میلی لیتر)	۲۵	۶/۲۵	۶/۲۵	۱۲/۵	۱۲/۵	۵۰	۱۰۰	۱۰۰	۵۰	۶/۲۵		



شکل ۶- میزان بیان ژن *mrkA* در سویه‌های مختلف کلبسیلا پنومونیه تحت تیمار با نانوذره نقره در مقایسه با ژن خانه‌دار *16S rRNA*. نتایج معنی‌دار بیان ژن *mrkA* در سویه‌های کلبسیلا پنومونیه به صورت مقایسه با ژن کنترل (*16S rRNA*) گزارش شده است ( $P < 0.001$ ).  $n=3$ : همان‌طور که مشاهده می‌شود با در نظر گرفتن ژن مرجع، تمامی سویه‌ها کاهش بیان معناداری داشته‌اند.

بیان نسبی ژن بیوفیلیم *mrkA* در ایزوله‌های بیوفیلیم مثبت که تحت تأثیر نانوذرات نقره قرار گرفته بودند، توسط روش Real Time PCR مورد مطالعه قرار گرفتند. نتایج نشان داد که سویه‌های مختلف در غلظت subMIC از نانوذرات نقره، تغییر بیان ژن *mrkA* را داشتند و از نظر آماری تفاوت معنی‌داری در کاهش بیان ژن *mrkA* در مقایسه با بیان ژن *16S rRNA* داشتند ( $p < 0.05$ ). نتایج حاصل از تغییر بیان ژن *mrkA* در سویه‌های بیوفیلیم مثبت در نمودار ۱ و نمودار



شکل ۷- A: نمودار تکثیر Real Time PCR نمونه‌های بالینی کلبسیلا پنومونیه، B: نمودار آنالیز منحنی ذوب. قرمز: ژن *rRNA 16S*، سبز: ژن *mrkA*

## بحث

مقاومت‌های دارویی در سویه‌های باکتریایی بخصوص کلبسیلا پنومونیه یکی از معضلات اخیر و مورد توجه محققان در سرتاسر دنیا می‌باشد، اما هنوز اطلاعات کمی در مورد مهارکننده‌های تولید بیوفیلیم در سویه‌های مقاوم به آنتی‌بیوتیک کلبسیلا پنومونیه وجود دارد [۲۵]. تاکنون ترکیبات ضد بیوفیلیمی کمی توسط محققان گزارش شده‌اند. Wood و همکارانش چندین ترکیب ضد بیوفیلیم باکتری اشرشیا کلی مانند brominated furanones, ursolic acid

در این مطالعه برای اولین بار نانوذرات نقره با استفاده از عصاره گیاه سریشک سنتز شدند. نانوذرات نقره با استفاده از روش‌های میکروسکوپ الکترونی روبشی و گذاره تعیین ساختار شدند. نتایج نشان داد که نانوذرات نقره سنتز شده کروی و دارای اندازه میانگین ۳۰/۴۱ نانومتر می‌باشد. به دنبال آن اثرات ضد میکروبی و ضد بیوفیلیمی نانوذرات نقره به روش Real Time PCR بررسی شد. تولید بیوفیلیم و ایجاد

نانومتر به دست آوردند [۳۱]. نتایج مطالعه ما نشان داد که نانوذرات نقره سنتز شده کروی و دارای اندازه میانگین ۳۰/۴۱ نانومتر می‌باشد. یکی از دلایل اختلاف در اندازه نانوذرات نقره سنتز شده در مطالعات مختلف به دلیل محتوای ترکیبات احیاء کننده عصاره‌های گیاهی مختلف و همچنین شرایط واکنش مختلف می‌باشد.

در ادامه مطالعه، به دنبال جداسازی سویه‌های کلبسیلا پنومونیه مولد بیوفیلم، اثرات ضد میکروبی و ضد بیوفیلمی نانوذرات نقره مورد مطالعه قرار گرفت. نتایج تست‌های ضد میکروبی نشان داد که نانوذرات نقره دارای اثرات ضد میکروبی بر روی تمامی سویه‌های مولد بیوفیلم داشت به طوری که نانوذرات نقره سنتز شده از غلظت ۶/۲۵ تا ۱۰۰ میکروگرم در میلی‌لیتر خاصیت میکروب کشی داشتند. همچنین، نتایج تست ضد بیوفیلمی توسط روش Real Time PCR نانوذرات نقره نشان داد که هنگامی که سویه‌ها تحت تأثیر نانوذرات نقره در غلظت زیر حد مهارکنندگی قرار می‌گیرند، توانایی تشکیل بیوفیلم را ندارند. بنابراین هنگامی که سویه‌ها در مجاورت نانوذرات نقره قرار می‌گیرند، تولید آگروپلی‌ساکارید در این سویه‌ها ممانعت می‌شود و ارگانسیم نمی‌تواند بیوفیلم تشکیل دهد. مکانیسم اصلی تأثیر نانوذرات نقره بر روی سویه‌های کلبسیلا پنومونیه از طریق آسیب به DNA، پروتئین و تخریب دیواره سلولی می‌باشد [۳۲]. مطالعات نشان داده است که نانوذرات نقره رفتار فوتوکاتالیستی دارند و می‌توانند رادیکال‌های سمی اکسیژن تولید کنند و منجر به از بین رفتن غشای سلول باکتریایی

مشتملات ایندول و ۵ فلئوروپوراسیل را گزارش کرده‌اند [۲۶]. مکانیسم مقاومت به آنتی‌بیوتیک توسط سویه‌های تولید کننده بیوفیلم هنوز به طور کامل شناخته نشده است اما یکی از عوامل تولید گلیکوکالیکس در سلول‌ها می‌باشد که می‌تواند از دفاع ایمنی میزبان و فعالیت آنتی‌بیوتیک‌ها فرار کنند [۲۷]. به منظور از بین بردن سلول‌های میکروبی تولید کننده بیوفیلم، ترکیبات آنتی‌بیوتیکی باید به ماترکس پلی‌ساکاریدی نفوذ کنند تا به سلول برسند. علم نانوتکنولوژی با استفاده از نانوذرات می‌تواند به معضل پاسخ دهد، به طوری که یکی از نانوذرات فلزی، نانوذرات نقره می‌باشد که مطالعات مختلفی به اثرات ضد میکروبی آن اشاره کرده‌اند [۲۸].

تاکنون از عصاره گیاهان مختلفی جهت سنتز نانوذرات نقره استفاده شده است. Mousavi و همکارانش با استفاده از عصاره گیاه *Artemisia turcomanica* نانوذرات نقره را سنتز کردند. نتایج این مطالعه نشان داد که نانوذره سنتز شده دارای میانگین اندازه ۲۲ نانومتر بوده و دارای خاصیت ضد میکروبی معناداری می‌باشد [۲۹]. Ghanbar و همکارانش نانوذرات نقره را با استفاده از عصاره گیاه *Artemisia quttensis podlech* سنتز کردند. این محققان اثرات ضد باکتریایی را با روش میکروداپلوشن مورد مطالعه قرار دادند و نتایج این مطالعه نشان داد که نانوذره نقره دارای خاصیت ضدباکتریایی می‌باشد [۳۰]. هم‌چنین Khanna P و همکارانش با استفاده از عصاره جلبک سیانوفیسه نانوذرات نقره را سنتز نموده و ذراتی با اندازه میانگین بین ۱۰۰-۲۰

شوند در واقع نانوذرات یکپارچگی غشای سلول باکتری را مختل نموده و باعث کاهش سطح آب‌گریزی سلول می‌شود و تنظیم رونویسی از ژن‌های مقاومت در برابر استرس اکسیداتیو را کاهش می‌دهد [۳۳].

Moteriya و همکارانش نشان دادند که نانوذرات نقره سنتز شده توسط عصاره گیاه *Caesalpinia pulcherrima* که دارای اندازه ۸ نانومتر بودند، دارای اثرات ضد میکروبی و ضد بیوفیلیمی معنی‌داری علیه باکتری‌های *استافیلوکوکوس اورئوس*، *سودوموناس آئروژینوزا* و *سالمونلا تایفی موریم* می‌باشد، به طوری که هر یک از سویه‌ها دارای میزان MIC متفاوتی بودند که میزان MIC آن با نتایج مطالعه ما هم‌خوانی نداشت [۳۴]. تفاوت میزان MIC در مطالعات مختلف ممکن است به دلیل تفاوت در روش‌های آماده‌سازی نانوذرات، اندازه نانوذره و تفاوت در سوش‌های باکتریایی مورد مطالعه باشد. حساسیت باکتری‌ها به نانوذرات فقط به ساختار دیواره سلولی مربوط نمی‌شود، بلکه ممکن است به پراکسیداسیون چربی و تولید گونه‌های فعال اکسیژن نیز مربوط باشد.

نتایج مشابهی توسط Kalishwaralal و همکارانش گزارش شد، به طوری که این محققان نشان دادند که در غلظت ۱۰۰ نانومولار نانوذرات نقره سویه‌های *سودوموناس آئروژینوزا* و *استافیلوکوکوس اورئوس* تا ۹۵ درصد توانایی تشکیل بیوفیلیم را از دست می‌دهند [۳۵]. Moulavi P و همکارانش، اثرات نانوذرات نقره سنتز شده توسط عصاره گیاه درمنه را بروی بیوفیلیم سویه‌های *استافیلوکوکوس اورئوس* و

بیان ژن‌های بیوفیلیم مورد مطالعه قرار دادند. نتایج این مطالعه نشان داد که نانوذرات نقره سنتز شده دارای اندازه میانگین زیر ۱۰۰ نانومتر می‌باشند و نانوذرات نقره باعث مهار تشکیل بیوفیلیم شده و بیان ژن‌های *icaA* و *icaR* را در سویه‌های *استافیلوکوکوس اورئوس* کاهش می‌دهند [۳۶]. Rajivgandhi G و همکارانش، اثرات ضد بیوفیلیمی نانوذرات نقره سنتز شده را در سویه‌های *استافیلوکوکوس اورئوس* مورد مطالعه قرار دادند. نتایج این مطالعه نشان داد که نانوذرات نقره سنتز شده دارای اندازه میانگین ۲۰ تا ۵۰ نانومتر بوده و دارای اثرات ضد بیوفیلیمی می‌باشد و گزارش کردند که این نانوذرات می‌توانند جایگزین ترکیبات ضدبیوفیلیمی دیگر باشند [۳۷]. نقطه نظر تمامی این مطالعات با مطالعه ما، اثرات ضد بیوفیلیمی نانوذرات نقره می‌باشد اما نقطه نظر متفاوت، میزان درصد تشکیل بیوفیلیم و میزان کاهش بیان ژن *mrkA* می‌باشد. یکی از دلایل این تفاوت می‌تواند به دلیل مصرف بی رویه آنتی‌بیوتیک‌ها در کشورهای مختلف می‌باشد که موجب ایجاد مقاومت به آنتی‌بیوتیک‌های مختلف و همچنین ظهور مکانیسم‌های جدید مقاومت از جمله بیوفیلیم می‌باشد و میزان بیان ژن بیوفیلیم (*mrkA*) در سویه‌های مختلف که تحت تأثیر نانوذرات نقره قرار می‌گیرند متفاوت است، چون میزان تشکیل بیوفیلیم به دلیل میزان متفاوت بیان ژن *mrkA* در سویه‌ها متفاوت می‌باشد.

یکی دیگر از اهداف مطالعه حاضر تعیین تأثیر نانوذرات نقره بر بیان ژن تولید کننده بیوفیلیم *mrkA* در سویه‌های

مطالعات آتی از تعداد سویه‌های بیش‌تر مقاوم به دارو کلبسیلا پنومونیه که از نقاط مختلف جغرافیایی جداسازی شده‌اند استفاده شود تا میزان بیان ژن *mrkA* در سویه‌های مختلف بررسی شود. هم‌چنین می‌توان میزان اثرات ضد میکروبی و ضد بیوفیلمی نانوذرات نقره سنتز شده در این مطالعه را با نانوذرات تجاری مقایسه نمود.

نتایج این مطالعه اثرات ضد میکروبی و ضد بیوفیلمی نانوذرات نقره علیه سویه‌های کلبسیلا پنومونیه را نشان داد. از آنجایی که مطالعات کمی در مورد تأثیر نانوذرات نقره بر روی بیوفیلیم سویه‌های کلبسیلا پنومونیه انجام گرفته است، با توجه به اهمیت بالینی این باکتری، بتوان در آینده با انجام مطالعات تکمیلی احتمالاً بتوان از این ترکیب برای مهار بیوفیلیم استفاده نمود.

#### تشکر و قدردانی

این مقاله منتهج از پایان‌نامه کارشناسی ارشد دانشگاه آزاد اسلامی واحد تهران مرکزی می‌باشد، لذا محققان برخوردار می‌دانند که از معاونت محترم پژوهشی به دلیل فراهم نمودن اعتبار مالی و هم‌چنین از کلیه پرسنل آزمایشگاه میکروبی شناسی که جهت فراهم نمودن سویه‌های باکتریایی کلبسیلا پنومونیه همکاری نمودند، تشکر و قدردانی نمایند.

کلبسیلا پنومونیه بود. نتایج این مطالعه نشان داد که نانوذرات نقره در تمامی سویه‌ها باعث کاهش بیان ژن معنی-دار در تمامی سویه‌های مولد بیوفیلیم شدند و بنابراین می‌توانند باعث مهار تشکیل بیوفیلیم شوند. با توجه به مهار بیان ژن بیوفیلیم می‌توان نتیجه گرفت که نانوذرات نقره می‌توانند باعث مهار بیان ژن تولید کننده بیوفیلیم شده و بنابراین نانوذرات نقره کاندید مناسبی جهت از بین بردن بیوفیلیم در سویه‌های کلبسیلا پنومونیه باشد. مطالعات مختلفی در مورد بررسی اثرات ضد بیوفیلیمی نانوذرات نقره به انجام رسیده است. Loo و همکارانش اثرات ضد بیوفیلیمی نانوذرات نقره را بر روی بیوفیلیم سویه‌های سودوموناس آئروژینوزا مورد مطالعه قرار دادند. نتایج نشان داد که نانوذرات با اندازه کوچک بر روی بیوفیلیم کلنی‌های سودوموناس آئروژینوزا به میزان ۹۰ درصد مؤثر است [۳۸] و بنابراین وجه اشتراک تمامی مطالعات با مطالعه ما اثرات ضد بیوفیلیمی معنی‌دار نانوذرات نقره می‌باشد.

یکی از محدودیت‌های این مطالعه، محدود بودن تعداد سویه‌های کلبسیلا پنومونیه مقاوم به دارو و تشکیل دهنده بیوفیلیم می‌باشد، به همین دلیل پیشنهاد می‌شود که در

## References

- [1] Li B, Webster TJ. Bacteria antibiotic resistance: New challenges and opportunities for implant-associated orthopedic infections. *J Orthop Res* 2018; 36(1): 22-32.

- [2] Gupta M, Didwal G, Bansal S, Kaushal K, Batra N, Gautam V, Ray P. Antibiotic-resistant *Enterobacteriaceae* in healthy gut flora: A report from north Indian semiurban community. *Indian J Med Res* 2019; 149(2): 276-80.
- [3] Wyres KL, Wick RR, Judd LM, Froumine R, Tokolyi A, Gorrie CL, et al. Distinct evolutionary dynamics of horizontal gene transfer in drug resistant and virulent clones of *Klebsiella pneumoniae*. *PLoS Genet* 2019; 15(4): e1008114.
- [4] Juan CH, Chuang C, Chen CH, Li L, Lin YT. Clinical characteristics, antimicrobial resistance and capsular types of community-acquired, healthcare-associated, and nosocomial *Klebsiella Pneumoniae* bacteremia. *Antimicrob Resist Infect Control* 2019; 8(1): 12-23.
- [5] Gautam V, Thakur A, Sharma M, Singh A, Bansal S, Sharma A, et al. Molecular characterization of extended-spectrum  $\beta$ -lactamases among clinical isolates of *Escherichia coli* & *Klebsiella pneumoniae*: A multi-centric study from tertiary care hospitals in India. *Indian J Med Res* 2019; 149(2): 208-15.
- [6] Caliskan E, Say Coskun US, Dulger G, Kilincel O, Ankarali H, Sahin I. Investigation of plasmid mediated AmpC beta-lactamases in *Escherichia coli* and *Klebsiella pneumoniae* isolates by phenotypic and genotypic. *J Pak Med Assoc* 2019; 69(6): 834-39.
- [7] Singh AK, Yadav S, Chauhan BS, Nandy N, Singh R, Neogi K, et al. Classification of clinical Isolates of *Klebsiella pneumoniae* based on their *in vitro* biofilm forming capabilities and elucidation of the biofilm matrix chemistry with special reference to the protein content. *Front Microbiol* 2019; 10(1): 669-78.
- [8] Mohammadi M, Masoumipour F, Hassanshahian M, Jafarinasab T. Study the antibacterial and antibiofilm activity of *Carum copticum* against antibiotic-resistant bacteria in planktonic and biofilm forms. *Microb Pathog* 2019; 129(2): 99-105.
- [9] Türkel İ, Yıldırım T, Yazgan B, Bilgin M, Başbulut E. Relationship

- between antibiotic resistance, efflux pumps, and biofilm formation in extended-spectrum  $\beta$ -lactamase producing *Klebsiella pneumoniae*. *J Chemother* 2018; 30(6-8): 354-63.
- [10] Alcántar-Curiel MD, Ledezma-Escalante CA, Jarillo-Quijada MD, Gayosso-Vázquez C, Morfín-Otero R, Rodríguez-Noriega E, et al. Association of antibiotic resistance, cell adherence, and biofilm production with the endemicity of nosocomial *Klebsiella pneumoniae*. *Biomed Res Int* 2018; 2018: 7012958.
- [11] Jamil B, Habib H, Abbasi SA, Ihsan A, Nasir H, Imran M. Development of cefotaxime impregnated chitosan as nano-antibiotics: De Novo strategy to combat biofilm forming multi-drug resistant pathogens. *Front Microbiol* 2016; 7(1): 330-41.
- [12] Cardoso MH, Santos VPM, Costa BO, Buccini DF, Rezende SB, Porto WF, et al. A short peptide with selective anti-biofilm activity against *Pseudomonas aeruginosa* and *Klebsiella pneumoniae* carbapenemase-producing bacteria. *Microb Pathog* 2019; 103605.
- [13] Salomoni R, Léo P, Montemor AF, Rinaldi BG, Rodrigues M. Antibacterial effect of silver nanoparticles in *Pseudomonas aeruginosa*. *Nanotechnol Sci Appl* 2017; 10: 115-21
- [14] Martinez-Gutierrez F, Boegli L, Agostinho A, Sánchez EM, Bach H, Ruiz F, et al. Antibiofilm activity of silver nanoparticles against different microorganisms. *Biofouling* 2013; 29(6): 651-60.
- [15] Iravani S, Korbekandi H, Mirmohammadi SV, Zolfaghari B. Synthesis of silver nanoparticles: chemical, physical and biological methods. *Res Pharm Sci* 2014;9(6):385-406.
- [16] Poulouse S, Panda T, Nair PP, Théodore T. Biosynthesis of silver nanoparticles. *J Nanosci Nanotechnol* 2014; 14(2): 2038-49.
- [17] Baharara J, Namvar F, Ramezani T, Mousavi M, Mohamad R. Silver nanoparticles biosynthesized using *Achillea biebersteinii* flower extract: apoptosis induction in MCF-7 cells via caspase activation and regulation of *Bax*

- and *Bcl-2* gene expression. *Molecules* 2015; 20(2): 693-706.
- [18] Angiosperm phylogeny group. "An update of the Angiosperm Phylogeny Group classification for the orders and families of flowering plants: APG IV". *Botanical Journal of the Linnean Society* 2016; 181(1): 1-20.
- [19] Hansen DS, Aucken HM, Abiola T, Podschun R. Recommended test panel for differentiation of *Klebsiella* species on the basis of a trilateral interlaboratory evaluation of 18 biochemical tests. *J Clin Microbiol* 2004; 42(8): 3665-9.
- [20] Clinical and laboratory standards institute (CLSI). Performance standards for antimicrobial susceptibility testing; 16th informational supplement. CLSI, Wayne, Pa. M100-S16, 26, no. 3.2018.
- [21] Vuotto C, Longo F, Pascolini C, Donelli G, Balice MP, Libori MF. Biofilm formation and antibiotic resistance in *Klebsiella pneumoniae* urinary strains. *J Appl Microbiol* 2017; 123(4): 1003-18.
- [22] Erdogan O, Abbak M, Demirbolat GM, Birtokocak F, Aksel M, Pasa S, et al. Green synthesis of silver nanoparticles via *Cynara scolymus* leaf extracts: The characterization, anticancer potential with photodynamic therapy in MCF7 cells. *PLoS One* 2019; 14(6): e0216496.
- [23] Fard NN, Noorbazargan H, Mirzaie A, Hedayati Ch M, Moghimiyani Z, Rahimi A. Biogenic synthesis of AgNPs using *Artemisia oliveriana* extract and their biological activities for an effective treatment of lung cancer. *Artif Cells Nanomed Biotechnol* 2018; 46(sup3): S1047-S1058.
- [24] Vuotto C, Longo F, Pascolini C, Donelli G, Balice MP, Libori MF. Biofilm formation and antibiotic resistance in *Klebsiella pneumoniae* urinary strains. *J Appl Microbiol* 2017; 123(4): 1003-18.
- [25] Alkhudhairy MK, Alshadeedi SMJ, Mahmood SS, Al-Bustan SA, Ghasemian A. Comparison of adhesion genes expression among *Klebsiella oxytoca* ESBL-non-producers in planktonic and biofilm mode of growth, and imipenem sublethal exposure. *Microb Pathog* 2019; 134(1): 103558.
- [26] Wood TK. Insights on *Escherichia coli* biofilm formation and inhibition from

- whole-transcriptome profiling. *Environ Microbiol* 2009; 11(1): 1-15.
- [27] Singh S, Singh SK, Chowdhury I, Singh R. Understanding the mechanism of bacterial biofilms resistance to antimicrobial agents. *Open Microbiol J* 2017; 11(1): 53-62.
- [28] Stewart PS. Mechanisms of antibiotic resistance in bacterial biofilms. *Int J Med Microbiol* 2002; 292(2): 107-13.
- [29] Mousavi B, Tafvizi F, Zaker Bostanabad S. Green synthesis of silver nanoparticles using *Artemisia turcomanica* leaf extract and the study of anti-cancer effect and apoptosis induction on gastric cancer cell line (AGS). *Artif Cells Nanomed Biotechnol* 2018; 46(sup1): 499-510.
- [30] Ghanbar F, Mirzaie A, Ashrafi F, Noorbazargan H, Dalirsaber Jalali M, Salehi S, et al. Antioxidant, antibacterial and anticancer properties of phyto-synthesised *Artemisia quttensis* Podlech extract mediated AgNPs. *IET Nanobiotechnol* 2017; 11(4): 485-92.
- [31] Khanna P, Kaur A, Goyal D. Algae-based metallic nanoparticles: Synthesis, characterization and applications. *J Microbiol Methods* 2019; 105656.
- [32] Qing Y, Cheng L, Li R, Liu G, Zhang Y, Tang X, et al. Potential antibacterial mechanism of silver nanoparticles and the optimization of orthopedic implants by advanced modification technologies. *Int J Nanomedicine* 2018; 13: 3311-27.
- [33] Cao H, Liu X. Silver nanoparticles-modified films versus biomedical device-associated infections. *Wiley Interdiscip Rev Nanomed Nanobiotechnol* 2010; 2(6):670-84
- [34] Moteriya P. Biosynthesis of silver nanoparticles for mation from *Caesalpinia pulcherrima* stem metabolites and their broad spectrum biological activities. *J Genet Eng Biotechnol* 2018; 16(1): 105-13.
- [35] Kalishwaralal K, Barath Mani Kanth S, Pandian SR, Deepak V, Gurunathan S. Silver nanoparticles impede the biofilm formation by *Pseudomonas aeruginosa* and *Staphylococcus epidermidis*. *Colloids Surf B Biointerfaces* 2010; 79(2): 340-4.
- [36] Moulavi P, Noorbazargan H, Dolatabadi A, Foroohimanjili F, Tavakoli Z, Mirzazadeh S, et al. Antibiofilm effect of green engineered silver nanoparticles fabricated from *Artemisia scoporia*

- extract on the expression of *icaA* and *icaR* genes against multidrug-resistant *Staphylococcus aureus*. *J Basic Microbiol* 2019; 29.
- [37] Rajivgandhi G, Maruthupandy M, Muneeswaran T, Anand M, Quero F, Manoharan N, Li WJ. Biosynthesized silver nanoparticles for inhibition of antibacterial resistance and biofilm formation of methicillin-resistant coagulase negative Staphylococci. *Bioorg Chem* 2019; 89:103008.
- [38] Loo CY1, Young PM, Cavaliere R, Whitchurch CB, Lee WH, Rohanizadeh R. Silver nanoparticles enhance *Pseudomonas aeruginosa* PAO1 biofilm detachment. *Drug Dev Ind Pharm* 2014; 40(6):719-29.

## Anti-biofilm Activity of Synthesized Silver Nanoparticles Using *Asphodelus dendroides* Extract against Antibiotic Resistant and Biofilm Forming *Klebsiella pneumoniae* Clinical Strains: A Laboratory Study

M. Sabahi<sup>1</sup>, S. M. M. Hamdi<sup>2</sup>, A. Mirzaie<sup>3</sup>

Received: 30/06/2019 Sent for Revision: 30/07/2019 Received Revised Manuscript: 09/11/2019 Accepted: 30/11/2019

**Background and Objectives:** Synthesis of silver nanoparticles (AgNPs) using plant extract is cost effective, while, one of the applications of AgNPs is its antimicrobial and anti-biofilm activities. The aim of this study was to investigate the anti-biofilm activity of synthesized AgNPs using *A. dendroides* against antibiotic resistant and biofilm forming clinical isolates of *Klebsiella pneumoniae*.

**Materials and Methods:** In this laboratory study, the AgNPs were first synthesized using *Asphodelus dendroides* extract and their size and structural characteristics were determined using various physico-chemical methods. Subsequently, the antimicrobial and anti-biofilm activities of synthesized AgNPs on antibiotic resistant and biofilm forming clinical isolates of *K. pneumoniae* were investigated via minimum inhibitory concentration (MIC) and Real Time PCR, respectively.

**Results:** The results of the UV-vis test showed that the synthesized AgNPs had a maximum absorbance at 420 nm. The SEM (scanning electron microscope), TEM (transmission electron microscopy) and XRD (X-ray powder diffraction) results showed that the synthesized AgNPs had a spherical structure with a mean size of 30.41±22 nm. Also, AgNPs had significant antimicrobial and anti-biofilm activities against *K. pneumoniae* strains, so that the AgNPs down-regulated the expression of biofilm coding gene (*mrkA*) in *K. pneumoniae* strains (p<0.001).

**Conclusion:** The results of this study showed the antimicrobial and anti-biofilm activities of AgNPs against *K. pneumoniae* strains. According to the results, with further studies, the synthesized AgNPs may be used as biofilm inhibitors in future.

**Key words:** Silver nanoparticle, *Klebsiella pneumoniae*, Antibacterial activity, Anti-biofilm activity, *mrkA* gene

**Funding:** This research was funded by Islamic Azad University, Central Tehran Branch.

**Conflict of interest:** None declared.

**Ethical approval:** The Ethical Committee of Islamic Azad University of Central Branch approved the study (IR.IAU, Tehran.REC.1397.019)

**How to cite this article:** Sabahi M, Hamdi S M M, Mirzaie A. Anti-biofilm Activity of Synthesized Silver Nanoparticles Using *Asphodelus dendroides* Extract Against Antibiotic Resistant and Biofilm Forming *Klebsiella pneumoniae* Clinical Strains: A Laboratory Study. *J Rafsanjan Univ Med Sci* 2020; 18 (12): 1233-52 [Farsi]

1- MSc, Dept. of Biology, Islamic Azad University, Central Tehran Branch, Tehran, Iran, ORCID: 0000-0002-8214-6315

2- Associate Prof., Dept. of Biology, Islamic Azad University, Central Tehran Branch, Tehran, Iran, ORCID: 0000-0001-7167-1352

(Corresponding Author): Tel: (021) 88074907, Fax: (021) 88074907, E-mail: m.hamdi@iauctb.ac.ir

3- Assistant Prof., Dept. of Biology, Islamic Azad University, Roudehen Branch, Roudehen, Iran, ORCID: 0000-0002-0941-7828